

# Universidad Nacional Autónoma de Honduras

Escuela de Matemática y Ciencias de la Computación

Centro de Innovación en Cómputo Científico CICC-UNAH

Lecturas de Modelación Matemática

PRINCIPIOS DE HOMOTOPÍAS Y CÓMPUTO DE ÍNDICES DE BUCLES EN  $\mathbb{C} \setminus \{0\}$  CON  
APLICACIONES

Profesor: Dr. Fredy Vides

## Índice

|   |          |
|---|----------|
| <b>1. Principios de Homotopías y Cómputo de Índices de Bucles en <math>\mathbb{C} \setminus \{0\}</math></b>  | <b>1</b> |
| 1.1. Principios de Homotopías . . . . .   | 1        |
| 1.2. Trayectorias Homotópicas . . . . .   | 2        |
| 1.3. Algunas propiedades del cómputo de índices en $\pi_1(\mathbf{S}^1, 1)$ . . . . .   | 4        |
| 1.4. Proyectos Computacionales . . . . .  | 5        |
| 1.4.1. Visión Computarizada y Detección de movimiento periódico . . . . .   | 5        |
| 1.4.2. Identificación Dinámica en $\mathbf{S}_{GT}^1 = \{z \in \mathbb{C} :  \operatorname{Re}(z)  +  \operatorname{Im}(z)  = 1\}$<br>topológicamente controlada por $\mathbf{S}^1$ . . . . . | 7        |

## 1. Principios de Homotopías y Cómputo de Índices de Bucles en $\mathbb{C} \setminus \{0\}$

### 1.1. Principios de Homotopías

**Notación 1.1.** Dados dos conjuntos  $X, Y$  escribiremos  $Y^X$  para denotar el sub-conjunto de  $X \times Y$  determinado por el conjunto de todas las funciones de  $X$  a  $Y$ .

**Notación 1.2.** Dados dos espacios métricos (topológicos) se denota por  $C(X, Y)$  el conjunto de funciones continuas de  $X$  a  $Y$ .

**Definición 1.3.** Un espacio métrico (topológico)  $X$  se denomina conexo por trayectorias o CPT si para cada  $x, x' \in X$ , existe  $\gamma \in C([0, 1], X)$  tal que  $\gamma(0) = x$  y  $\gamma(1) = x'$ .

**Definición 1.4.** Dados dos espacios topológicos  $X, Y$  y dadas  $f_0, f_1 \in C(X, Y)$ , una **homotopía** de  $f_0$  a  $f_1$  es una familia (**net**) de funciones  $\{\hat{f}_t\}_{t \in [0, 1]} \subset C(X, Y)$  tal que  $\hat{f}_0 = f_0$  y  $\hat{f}_1 = f_1$ .

*Observación 1.5.* Con base en la definición previa es posible observar que dados dos espacios topológicos, una homotopía entre dos mapas  $f, g \in C(X, Y)$  puede interpretarse como una función  $h \in C(X \times [0, 1], Y)$  tal que.

$$\begin{cases} h(x, s) \in Y, s \in [0, 1] \\ h(x, 0) = f(x) \\ h(x, 1) = g(x) \end{cases}, x \in X \quad (1.1)$$

Homotopías entre mapas arbitrarios  $f, g$  que solamente complen la condición (1.1) se denominan **homotopías libres**, dado que las únicas restricciones están dadas por la continuidad de  $h : X \times [0, 1] \rightarrow Y$  y por (1.1).

*Suposición 1.6.* Dada la importancia del espacio topológico  $[0, 1] \subset \mathbb{R}^1$  en el trabajo de clasificación de espacios topológicos correspondiente a este curso, a partir de este punto se asumirá cierto (sin necesidad de verificación/demostración) que  $[0, 1]$  **es un sub-conjunto compacto del espacio topológico  $\mathbb{R}^1$**  (con respecto a la topología métrica usual inducida por la métrica  $d : \mathbb{R} \times \mathbb{R} \rightarrow \mathbb{R}$  determinada por  $d(x, y) = |x - y|, x, y \in \mathbb{R}$ ).

En el caso de mapas (trayectorias) en  $C([0, 1], X)$  en un espacio topológico  $X$ , además de homotopías libres, se considerarán homotopías con algunas restricciones adicionales. Un ejemplo gráfico de homotopía libre entre dos trayectorias en  $\mathbb{C} \setminus \{0\}$  se ilustra en la fig. 1.1.

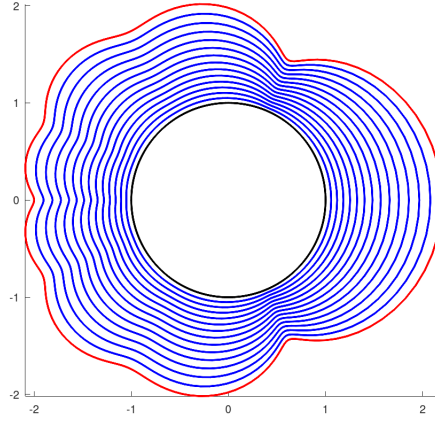


Figura 1.1: Ilustración gráfica de una homotopía libre  $\{f_s\}_{s \in [0,1]} \subset C([0, 1], \mathbb{C} \setminus \{0\})$  en  $\mathbb{C} \setminus \{0\}$  entre dos trayectorias  $\gamma : [0, 1] \rightarrow \mathcal{S}$  (representada por curva coloreada en negro) y  $\gamma_p = p \circ \gamma : [0, 1] \rightarrow p(\mathcal{S})$  (representada por curva coloreada en rojo), para  $\mathcal{S} = \{z \in \mathbb{C} : |z| = 1\} \subset \mathbb{C} \setminus \{0\}$ ,  $\gamma(t) = \exp(2\pi it)$  para  $t \in [0, 1]$ ,  $p \in \mathbb{C}[z]$  definido por  $p(z) = \frac{1}{10}z^8 + \frac{1}{10}z^7 + \frac{1}{10}z^6 + \frac{1}{10}z^5 + \frac{1}{10}z^4 + \frac{1}{10}z^3 + \frac{1}{2}z^2 + \frac{9}{5}z - \frac{7}{10}$  y  $f_s(t) = \frac{\gamma_p(t)}{|\gamma_p(t)|^s}, 0 \leq s, t \leq 1$ .

*Observación 1.7.* Es importante observar que la expresión  $f_s(t) = \frac{\gamma_p(t)}{|\gamma_p(t)|^s}, 0 \leq s, t \leq 1$  define una homotopía dado que  $\gamma([0, 1]), \gamma_p([0, 1]) \subset \mathbb{C} \setminus \{0\}$  de manera que  $0 \notin \gamma([0, 1]), \gamma_p([0, 1])$ , si no se considera esta restricción para los rangos de  $\gamma, \gamma_p$  la expresión  $f_t(s)$  podría no estar bien definida y no podría definir una homotopía. Esta es una de las razones por las que el conjunto en el que se está considerando la homotopía es importante.

## 1.2. Trayectorias Homotópicas

**Definición 1.8.** Dadas dos trayectorias  $\gamma_0, \gamma_1 \in C([0, 1], X)$  en un espacio topológico  $X$  tales que  $\gamma_0(0) = \gamma_1(0)$  y  $\gamma_0(1) = \gamma_1(1)$ , se define una homotopía con puntos extremos fijos

como una homotopía  $\{\hat{\gamma}_t\}_{t \in [0,1]} \subset C([0,1], X)$  que cumple las siguiente restricciones.

$$\begin{cases} \hat{\gamma}_s(t) \in X \\ \hat{\gamma}_s(0) = \gamma_0(0) = \gamma_1(0) \\ \hat{\gamma}_s(1) = \gamma_0(1) = \gamma_1(1) \quad , \quad s, t \in [0, 1] \\ \hat{\gamma}_0(t) = \gamma_0(t) \\ \hat{\gamma}_1(t) = \gamma_1(t) \end{cases} \quad (1.2)$$

**Notación 1.9.** Dadas dos trayectorias  $\gamma_0, \gamma_1 \in C([0,1], X)$  en un espacio topológico  $X$ , se escribirá que  $\gamma_0, \gamma_1$  son **homotópicas con puntos extremos fijos** si  $\gamma_0(0) = \gamma_1(0)$  y  $\gamma_0(1) = \gamma_1(1)$  y si existe una homotopía  $\{\hat{\gamma}_t\}_{t \in [0,1]} \subset C([0,1], X)$  que cumple las restricciones (1.2), la condición de  $\gamma_0, \gamma_1$  de ser homotópicas con puntos extremos fijos se denotará de forma abreviada en este curso como  $\gamma_0 \sim_h \gamma_1$ .

Un ejemplo gráfico de homotopía con puntos extremos fijos entre dos trayectorias en  $\mathbb{C} \setminus \{0\}$  se ilustra en la fig. 1.2.

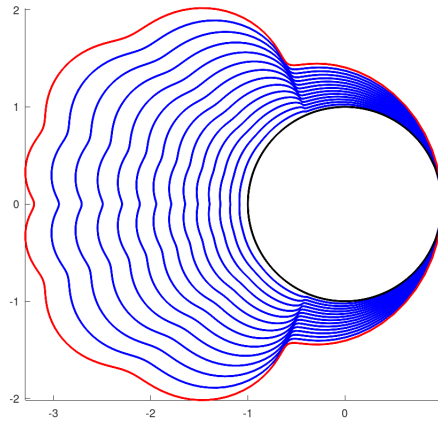


Figura 1.2: Ilustración gráfica de una homotopía con puntos extremos fijos  $\{f\}_{s \in [0,1]} \subset C([0,1], \mathbb{C} \setminus \{0\})$  en  $\mathbb{C} \setminus \{0\}$  entre dos trayectorias  $\gamma : [0,1] \rightarrow \mathcal{S}$  (representada por curva coloreada en negro) y  $\gamma_p : [0,1] \rightarrow p(\mathcal{S})$  (representada por curva coloreada en rojo), para  $\mathcal{S} = \{z \in \mathbb{C} : |z| = 1\} \subset \mathbb{C} \setminus \{0\}$ ,  $\gamma(t) = \exp(2\pi it)$  para  $t \in [0,1]$ ,  $p \in \mathbb{C}[z]$  definido por  $p(z) = \frac{1}{10}z^8 + \frac{1}{10}z^7 + \frac{1}{10}z^6 + \frac{1}{10}z^5 + \frac{1}{10}z^4 + \frac{1}{10}z^3 + \frac{1}{2}z^2 + \frac{9}{5}z - \frac{7}{10}$ ,  $\gamma_p(t) = p(\exp(2\pi it)) - p(1) + 1$  para  $t \in [0,1]$  y  $f_s(t) = \frac{\gamma_p(t)}{|\gamma_p(t)|^s}$ ,  $0 \leq s, t \leq 1$ .

**Lema 1.10.** La relación  $\sim_h$  es una relación de equivalencia entre trayectorias en un espacio topológico.

*Demostración.* Sea  $X$  un espacio topológico. Dada  $\alpha \in C([0,1], X)$ , es claro que la familia de funciones  $\{\alpha_t\}_{t \in [0,1]} \subset X^{[0,1]}$  definida por  $\alpha_t(s) = \alpha(s)$  para cada  $t, s \in [0,1]$  es una homotopía de  $\alpha$  a  $\alpha$ . En efecto,  $\alpha_t = \alpha \in C([0,1], X)$  para cada  $t \in [0,1]$ ,  $\alpha_0 = \alpha$ ,  $\alpha_1 = \alpha$  y  $\alpha_t(0) = \alpha(0)$  y  $\alpha_t(1) = \alpha(1)$  para cada  $t \in [0,1] \implies \alpha \sim_h \alpha$ .

Dadas  $\alpha, \beta \in C([0, 1], X)$  tales que  $\alpha \sim_h \beta$ , se cumple que existe una homotopía con puntos extremos fijos  $\{\hat{\alpha}_t\}_{t \in [0, 1]} \subset C([0, 1], X)$  de  $\alpha$  a  $\beta$ . Es claro con base en la definición de la operación  $\sim_h$  que la familia  $\{\hat{\alpha}_{1-t}\}_{t \in [0, 1]} \subset C([0, 1], X)$  define una homotopía de  $\beta$  a  $\alpha \implies \beta \sim_h \alpha$ .

Dadas  $\alpha, \beta, \gamma \in C([0, 1], X)$  tales que  $\alpha \sim_h \beta$  y  $\beta \sim_h \gamma$ , se cumple que existen homotopías con puntos extremos fijos  $\{\hat{\alpha}_t\}_{t \in [0, 1]}, \{\hat{\beta}_t\}_{t \in [0, 1]} \subset C([0, 1], X)$  de  $\alpha$  a  $\beta$  y de  $\beta$  a  $\gamma$ , respectivamente. Es claro con base en la definición de la operación  $\sim_h$  que la familia  $\{\hat{\gamma}_t\}_{t \in [0, 1]} \subset C([0, 1], X)$  determinada por la expresión

$$\hat{\gamma}_t(s) = \begin{cases} \hat{\alpha}_{2t}(s), & t \in [0, 1/2] \\ \hat{\beta}_{2t-1}(s), & t \in [1/2, 1] \end{cases}$$

define una homotopía de  $\alpha$  a  $\gamma \implies \alpha \sim_h \gamma$ . Los argumentos previos implican que la relación  $\sim_h$  es reflexiva, simétrica y transitiva, por tanto  $\sim_h$  es una relación de equivalencia.  $\square$

**Notación 1.11.** Dada una trayectoria  $\alpha \in C([0, 1], X)$  en un espacio topológico  $X$ , en este curso se escribirá  $[\alpha]_h$  para denotar la clase de equivalencia (de homotopía) de  $\alpha$ , la cual está determinada por la expresión  $[\alpha]_h = \{\gamma \in C([0, 1], X) : \gamma \sim_h \alpha\}$ .

Tanto en la fig. 1.1 como en la fig. 1.2 se ilustran tipos de trayectorias que jugarán un papel fundamental en el trabajo de clasificación de espacios topológicos correspondiente a este curso.

**Definición 1.12.** Dado un espacio topológico  $X$  y un punto  $x \in X$ . Una trayectoria  $\gamma \in C([0, 1], X)$  se denomina un **bucle** o **lazo** en  $X$  con base en  $x$ , si  $\gamma(0) = x = \gamma(1)$ . El conjunto de todos los bucles en  $X$  con base en  $x$  se denotará por  $\pi(X, x)$  en este curso.

*Observación 1.13.* Dado un espacio topológico  $X$  y dado  $x \in X$ . Es claro que  $\pi(X, x) = \{\alpha \in C([0, 1], X) : \alpha(0) = x = \alpha(1)\}$

**Notación 1.14.** Dados dos espacios topológicos  $X, Y$  y  $y \in Y$ , en este curso se escribirá  $\hat{y}$  para denotar la función  $\hat{y} : X \rightarrow Y$  definida por  $\hat{y}(x) = y$  para cada  $x \in X$ .

### 1.3. Algunas propiedades del cómputo de índices en $\pi_1(\mathbf{S}^1, 1)$

**Notación 1.15.**  $\mathbf{S}^1 = \{z \in \mathbb{C} : |z| = 1\}$ .

**Notación 1.16.**  $\pi_1(\mathbf{S}^1, 1) = \pi(\mathbf{S}^1, 1) / \sim_h = \{[\alpha]_h : \alpha \in \pi(\mathbf{S}^1, 1)\}$ .

**Definición 1.17.** Dada  $\omega \in C([0, 1], \mathbb{C})$  tal que  $\omega(0) = \omega(1)$  y dado  $z_0 \in \mathbb{C}$ , el **número de giros** o **índice** de  $\omega$  con respecto a  $z_0$  se define como el número entero correspondiente a la expresión.

$$N_{z_0}(\omega) = \frac{1}{2\pi i} \oint_{\omega} \frac{dz}{z - z_0}$$

*Observación 1.18.* Es importante observar que la integral correspondiente al índice  $N_{z_0}(\omega)$  debe calcularse en el sentido positivo (anti-horario) de recorrido de  $\omega([0, 1])$ .

**Definición 1.19.** Dada  $\omega \in C([0, 1], \mathbf{S}^1)$  en  $\mathbf{S}^1$  tal que  $\omega(0) = \omega(1) = 1$ , se define el índice  $\text{ind}([\omega]_h)$  de  $[\omega]_h$ , como el número entero definido por la expresión  $\text{ind}([\omega]_h) = N_0(\omega)$ .

**Propiedad 1.20.** Dadas  $[\alpha]_h, [\beta]_h \in \pi_1(\mathbf{S}^1, 1)$  el cómputo de índices en  $\pi_1(\mathbf{S}^1, 1)$  cumple las siguientes propiedades:

1.  $\text{ind} : \pi_1(\mathbf{S}^1, 1) \rightarrow \mathbb{Z}$  está bien definida.
2.  $\text{ind}([\alpha]_h) = \text{ind}([\beta]_h) \implies [\alpha]_h = [\beta]_h$ .
3. Dado  $z \in \mathbb{Z}$  existe  $[\omega_z]_h \in \pi_1(\mathbf{S}^1, 1)$  tal que  $\text{ind}([\omega_z]_h) = z$ .

*Observación 1.21.* Es importante observar que la función  $\text{ind}$  está bien definida en  $\pi_1(\mathbf{S}^1, 1)$ , antes de calcular el índice de un elemento de un grupo fundamental dado, es importante determinar si la operación podría estar definida.

**Definición 1.22.** Dado  $S \subset \mathbb{R}$ , se dice que  $f \in C(S, \mathbb{C} \setminus \{0\})$  está topológicamente controlado por  $\mathbf{S}^1$  si existe  $p_f \in C(\mathbf{S}^1, \mathbb{C} \setminus \{0\})$  tal que  $p_f$  resuelve el siguiente diagrama conmutativo.

$$\begin{array}{ccc}
 & \mathbf{S}^1 & \\
 \exp(2\pi i \cdot) \nearrow & \downarrow p_f & \\
 S & \xrightarrow{f} & \mathbb{C} \setminus \{0\}
 \end{array}$$

## 1.4. Proyectos Computacionales

Para desarrollar las siguientes prácticas de laboratorio, es recomendable instalar el programa GNU Octave en su versión 5.2.0 disponible en la dirección <https://www.gnu.org/software/octave/download.html>.

### 1.4.1. Visión Computarizada y Detección de movimiento periódico

En esta sección se resolverá el problema correspondiente al desarrollo de un algoritmo topológico elemental de visión computacional asistida y detección de movimiento periódico. Este algoritmo topológico basado en la función  $\text{ind} : \pi_1(\mathbf{S}^1, 1) \rightarrow \mathbb{Z}$  permite a la computadora detectar el movimiento periódico observado a través de una secuencia de imágenes que simulan un proceso de visión computacional asistida. Para este propósito se utilizará el programa `PMotionID.m` desarrollado por Fredy Vides como parte del proyecto **ACRPkG** actualmente en desarrollo en el **CICC-UNAH**.

El código Octave del programa `PMotionID.m` se muestra a continuación.

```

function [Wt, Wtr, T]=PMotionID(N, M, tol)
% Programador: Fredy Vides
% Proyecto: ACRPkG/CICC-UNAH 2020
% Example:
% [Wt, Wtr, T]=PMotionID(33, 200, 1e-11);
t=0:2/(N-1):2;

```

```

x=-1:2/(M-1):1;
z=@(t) cos(2*pi*t).*(1-x.^2).^3;
for k=1:N
plot(x,z(t(k)),'linewidth',5,[-1 1],[0 0],'r.','markersize',20);
axis ([-1 1 -1 1]);
axis square;
axis off;
print ("-dpng", ['wave-', num2str(k), '.png']);
end
W=double(imread (['wave-1.png']));
imshow(uint8(W));
pause(.1);
R=sparse(size(W,1),size(W,2));
W=W(:, :, 1);
DW =del2(W);
f=find(DW);
Wr=R;
Wr(f)=W(f);
Wt=Wr(:);
for k=2:N
W=double(imread (['wave-', num2str(k), '.png']));
imshow(uint8(W));
pause(.1);
W=W(:, :, 1);
DW =del2(W);
f=find(DW);
Wr=R;
Wr(f)=W(f);
Wt=[Wt Wr(:)];
end
[u, s, ~]=svd(Wt, 0);
s=diag(s)';
f=find(s>=tol);
Wtr=u(:, f)'*Wt;
wt=abs(fft(Wtr(1, :)))/sqrt(N);
Th=min(wt);
f=find(wt>=Th);
F=@(z) (z.^(floor(N/f(2))))/sqrt(N);
T=NGiros(F, 0, N);
end

```

El programa `PMotionID.m` aplica el programa `OctaveNGiros.m` para calcular el índice del bucle elemental de identificación correspondiente. El código del programa `NGiros.m` se muestra a continuación.

```
function N=NGiros(f, z0, n)
```

```

%%
% Programador: Fredy Vides
% Proyecto: ACRPkG/CICC-UNAH 2020
% Example:
% f=@(x)polyval([.1 .1 .1 .1 .1 .1 .5 1.8 -.7],x);
% N=NGiros(f)
%%
if nargin<2
n=14;
z0=0;
end
if n<=1, n=2;end
t=0:1/n:1;
z=exp(2*pi*i*t(1:n));
pf=polyfit(z,f(z),n);
dpf=polyder(pf);
dpf=@(t)(exp(2*pi*i*t).*polyval(dpf,exp(2*pi*i*t)))./...
(polyval(pf,exp(2*pi*i*t))-z0);
N=real(quadl(dpf,0,1,1e-14));

```

Un ejemplo de ejecución del programa `PMotionID.m` se muestra a continuación.

```

>> [Wt,Wtr,T]=PMotionID(33,200,1e-11);
>> T
T = 16.000

```

#### 1.4.2. Identificación Dinámica en $S^1_{GT} = \{z \in \mathbb{C} : |\operatorname{Re}(z)| + |\operatorname{Im}(z)| = 1\}$ topológicamente controlada por $S^1$

En esta sección se utiliza el programa Octave `SystemIDTG.m` desarrollado por Fredy Vides como parte del proyecto **ACRPkG**, con el propósito de identificar dinámica topológica periódica en el subespacio topológico  $S^1_{GT} = \{z \in \mathbb{C} : |\operatorname{Re}(z)| + |\operatorname{Im}(z)| = 1\} \subset \mathbb{C}$ . El programa requiere la aplicación del programa `NGiros.m` previamente descrito, y requiere también la implementación de una función Octave que permita calcular el mapeo  $\mathcal{S} : (S^1_{GT}, 1) \rightarrow (S^1, 1)$ , la implementación computacional de Octave de  $\mathcal{S}$  ha sido implementada por Fredy Vides como el programa Octave `S1gt.m`, pero el código no se comparte en este punto dado que el cálculo y la implementación computacional en Octave del mapa  $\mathcal{S} : (S^1_{GT}, 1) \rightarrow (S^1, 1)$  es un **ejercicio para el lector**.

El código Octave del programa `SystemIDTG.m` se muestra a continuación.

```

function [Zr,Ind]=SystemIDTG(I,T,N)
% Programador: Fredy Vides
% Proyecto: ACRPkG/CICC-UNAH 2020
% Examples:
% [Z,Ind]=SystemIDTG([0 .5],2,101);
% [Z,Ind]=SystemIDTG([0 1],2,201);

```

```

f = @(t) S1gt(exp(2*pi*i*T*t));

dI=diff(I);
t=I(1):dI/(N-1):I(2);

S1GT=f(t);

S1r=S1GT./abs(S1GT);

S1r0=S1r(1:(N-1));
S1r1=S1r(2:N);
Zr=S1r1/S1r0;
F=@(z) z.^floor((N*angle(Zr))/(2*pi*dI));

Ind=NGiros(F,0,floor(N/10));

S1GTr=S1gt(F(exp(2*pi*i*t)));

for k=1:N
subplot(121);
Z=S1GT(1:k);
plot(real(Z),imag(Z),'b','linewidth',4,...
real(Z(1)),imag(Z(1)),'g.','markersize',...
24,real(Z(k)),imag(Z(k)),'r.','markersize',24);
axis([-1 1 -1 1]);
axis square;
title('DinÃ;mica observada')
pause(.1);
subplot(122);
Z=S1GTr(1:k);
plot(real(Z),imag(Z),'b','linewidth',4,...
real(Z(1)),imag(Z(1)),'g.','markersize',...
24,real(Z(k)),imag(Z(k)),'r.','markersize',24);
axis([-1 1 -1 1]);
axis square;
title('DinÃ;mica identificada')
pause(.1);
end
end

```

Un ejemplo de implementación del programa `SystemIDTG.m` se muestra a continuación.

```

>> [Z,Ind]=SystemIDTG([0 1],2,201);
>> Ind

```



Ind = 2.0000

Una de las salidas gráficas producidas por el programa `SystemIDTG.m` se ilustra en la fig. 1.3.

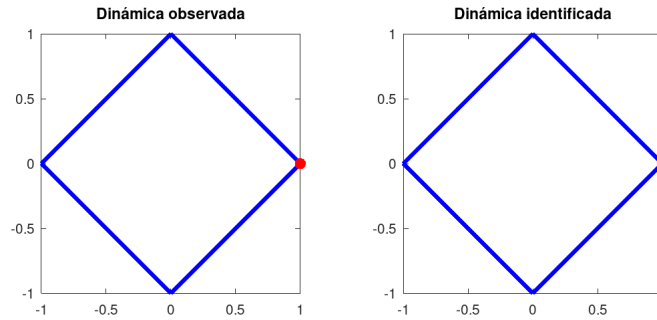


Figura 1.3: Salida gráfica del programa `SystemIDTG.m`.

### Ejercicios Adicionales para el Lector

**Ejercicio para el lector 1.** Adaptar el código `SystemIDTG.m` para desarrollar un programa Octave para realizar identificación de dinámica periódica en el espacio  $\mathbf{S}_{max}^1 = \{z \in \mathbb{C} : \max\{|\operatorname{Re}(z)|, |\operatorname{Im}(z)|\} = 1\}$ .

**Ejercicio para el lector 2.** Adaptar el código `SystemIDTG.m` para desarrollar un programa Octave para realizar identificación de dinámica periódica en el espacio  $\mathbf{S}_{\mathbb{R}}^1 = \{x \in \mathbb{R}^2 : \|x\|_2 = 1\}$ .

**Ejercicio para el lector 3.** Adaptar el código `SystemIDTG.m` para desarrollar un programa Octave para realizar identificación de dinámica periódica en el espacio  $\mathbf{S}_{GT, \mathbb{R}}^1 = \{(x, y) \in \mathbb{R}^2 : |x| + |y| = 1\}$ .

### Referencias

- [1] A. Hatcher. (2001). Algebraic Topology. Electronic version.
- [2] J. R. Munkres. (2002). Topología (2a Ed). Prentice Hall.
- [3] S. Boyd, L. Vandenberghe. (2018). Introduction to Applied Linear Algebra Vectors, Matrices, and Least Squares. Cambridge University Press.
- [4] A. Quarteroni, F. Saleri, P. Gervasio. (2014). Scientific computing with MATLAB and Octave (4thEd). Springer.